

論文 90-27-9-11

$\gamma\text{-Fe}_2\text{O}_3/\text{Pd}$ 후막형 가스 감지소자

($\gamma\text{-Fe}_2\text{O}_3/\text{Pd}$ Thick Film Gas Sensors)

崔 東 漢*, 李 德 東**

(Dong Han Choi and Duk Dong Lee)

要 約

$\gamma\text{-Fe}_2\text{O}_3$ 원료 분말에 대한 물성분석을 행하였다. $\gamma\text{-Fe}_2\text{O}_3$ 에 Pd를 첨가하여 후막형 가스감지 소자를 스크린 인쇄법에 의해 제조하고 그 특성을 조사하였다. $\gamma\text{-Fe}_2\text{O}_3$ 는 500°C에서 $\alpha\text{-Fe}_2\text{O}_3$ 로 비가역 결정전이 되었고 이때 4면체 자리의 철이온이 8면체 자리로 이동되었다. $\gamma\text{-Fe}_2\text{O}_3$ 내에는 Fe^{+3} 이온뿐이며 Fe^{+2} 이온은 존재하지 않았다. $\gamma\text{-Fe}_2\text{O}_3$ 에 가스가 흡착될 때 Fe^{+2} 이온의 양이 증가되었다. $\gamma\text{-Fe}_2\text{O}_3$ 에 Pd를 첨가함으로써 감도가 증가되었다. $\gamma\text{-Fe}_2\text{O}_3$ 에 Pd를 1w/o 첨가한 경우 동작온도 300°C에서 5000ppm의 부탄가스에 대해 97%의 감도를 나타내었다.

Abstract

The physical properties of $\gamma\text{-Fe}_2\text{O}_3$ raw materials were investigated. $\gamma\text{-Fe}_2\text{O}_3/\text{Pd}$ thick film gas sensors were fabricated with screen-printing method and their electrical and sensitivity characteristics were analyzed. The irreversible phase transition from $\gamma\text{-Fe}_2\text{O}_3$ to $\alpha\text{-Fe}_2\text{O}_3$ occurred at 500°C. At this time, the cation of tetrahedral sites moved into the octahedral sites. $\gamma\text{-Fe}_2\text{O}_3$ raw materials contained only trivalent and no divalent iron. The contents of divalent iron (Fe^{+2}) were increased as detecting gases were adsorbed. The addition of Pd (1w/o) to $\gamma\text{-Fe}_2\text{O}_3$ enhanced the sensitivity to gases. The sensitivity of $\gamma\text{-Fe}_2\text{O}_3/\text{Pd}$ (1w/o) thick film to 5000ppm C_4H_{10} was 97% at the operating temperature of 300°C.

I. 서 론

*正會員, 清州大學校 半導體工學科
(Dept. of Semiconductor Eng., Chongju Univ.)

**正會員, 慶北大學校 電子工學科
(Dept. of Elec. Eng., Kyungpook Nat'l Univ.)

接受日字：1990年 7月 3日

(※ 본 연구의 일부는 1990년도 한국과학재단 일반 기초연구비 지원에 의해 수행되었음. (과제번호 : 903-0809-001-2)

산업사회의 발전과 더불어 각종 가스에 대한 수요가 급증하고 있으며 이에 수반하여 각종 가스의 누설로 인한 대기오염 및 폭발사고등 가스로 인한 재해가 심각한 사회적 문제로 세기되고 있다. 이와 같은 가스재해를 방지할 수 있는 가스감지 소자의 개발은 그 필요성이 널리 인식되어 그 개발을 위한 연구가 국내외에서 경쟁적으로 수행되어지고 있다.^[1-6] 이들 가스감지 소자의 대부분은 SnO_2 , ZnO , WO_3 ,

등을 기본물질로 한것으로 피검가스의 흡착에 의한 표면전도변화를 이용한 가스감지기구를 갖고 있다. 종래 자성체로 이용되어온 γ -Fe₂O₃는 별다른 첨가제의 적용이 없어도 가스에 대한 감도가 높고^[7] 장기 안정도 특성이 뛰어나 새로운 가스감지 물질로서의 가능성이 인정 되어지고 있는 물질이다.

본 연구에서는 γ -Fe₂O₃원료분말에 대한 물성분석을 행하였고 γ -Fe₂O₃에 Pd를 첨가하여 후막형 가스감지소자를 스크린 인쇄법에 의해 제조하고 그 특성을 조사하였다.

II. 실험

1. 물성분석

본 실험에서 사용한 γ -Fe₂O₃원료분말에 대한 결정성이 특성을 DTA와 XRD로 분석하였다.

본 실험에서 피검가스로 사용된 부탄과 메탄가스의 300°C에서의 열분해 상태를 IR흡수특성을 통하여 예측해 보았다.

γ -Fe₂O₃에 부탄가스가 吸着하였을 경우 Fe⁺² 이온의 증가를 확인하기 위해 光透過 특성을 조사해 보았다.

γ -Fe₂O₃원료분말에 대해 실온과 350°C에서 Mössbauer 분광실험을 하였다. 실험에서 얻은 데이터를 Lorentzian line shape를 이용 최소자승법 fitting을 하여 Mössbauer parameter를 구하였다. 이들 값으로부터 철 이온의 상태와 vacancy의 존재를 예측하였다.

2. 소자의 제조 및 측정

그림 1은 소자의 제조과정을 나타낸 것이다. 원료분말에 첨가물을 혼합하여 공기중에서 하소하였다. 이를 분쇄한 후 탈이온수로서 혼탁액을 만들어 알루미나 기판 위에 스크린 인쇄하여 후막을 형성하였다. 이를 공기중 100°C에서 24시간 건조시킨 후 열처리하였다. 이때의 온도 상승률은 10C°/min.였으며 공기중에서 자연냉각 시켰다. 그후 간격 1mm인 금전극을 전공증착하였다.

그림 2는 제조된 소자의 단면을 나타낸 것이다. 후막의 두께는 100μm, 길이는 5mm, 너비는 5mm였다.

그림 3은 소자의 특성측정 장치도이다. 밀폐된 스텐레스 용기내에 히터를 장치하고 그 위에 소자를 올려 놓았다. 소자에 직렬로 부하저항을 연결하고 부하저항 양단의 전압강하를 측정하여 소자저항을 계산하였다.

III. 결과 및考察

本實驗에서 사용한 γ -Fe₂O₃原料粉末(日本 Rare

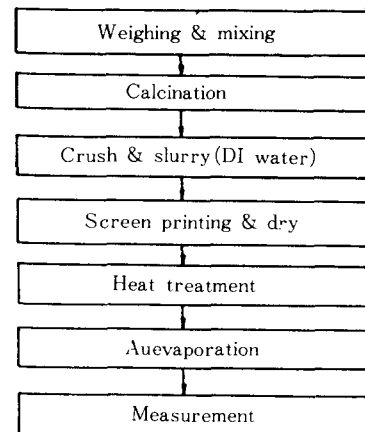


그림 1. 소자의 제조과정

Fig. 1. The process sequence diagram for the thick-film devices.

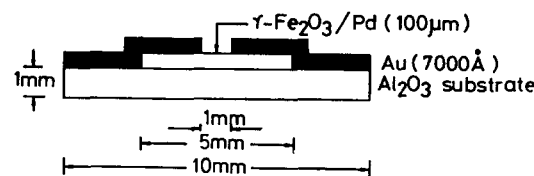


그림 2. 소자의 단면도

Fig. 2. Cross-sectional view of the prepared thick-film device.

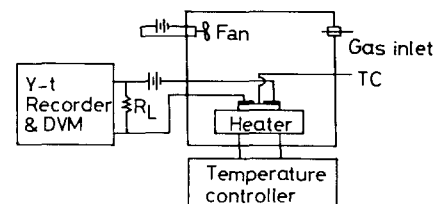


그림 3. 소자의 특성측정 장치도

Fig. 3. Schematic diagram of the measurement set-up.

Metallic社제)의 結晶轉移溫度를 調查하기 위해 窒溫에서 800°C의 온도범위에서 示差熱分析(DTA)을 행하였다. 이때 사용한 기기는 Shimadzu DT-30이었으며 온도상승률은 15C°/min.였다.

그림 4는 $\gamma\text{-Fe}_2\text{O}_3$ 원료분말에 대한 DTA 결과를 나타낸 것이다. 500°C 부근에서 강한 發熱피크가 나타났는데 이는 $\gamma\text{-Fe}_2\text{O}_3$ 가 $\alpha\text{-Fe}_2\text{O}_3$ 로 결정전이함에 따른 것임을 X선 회절결과로 부터 확인하였다. 100°C 부근의 약한 발열피크는 結合水分의 離脫에 의한 것이고 400°C 부근의 피크는 $\gamma\text{-Fe}_2\text{O}_3$ 가 일부 $\alpha\text{-Fe}_2\text{O}_3$ 로 결정전이함에 의한 것임을 X선 회절 결과로부터 확인하였다.

$\gamma\text{-Fe}_2\text{O}_3$ 원료분말과 열처리한 분말의 철이온 분포 변화와 결정전이를 조사하기 위해 $\gamma\text{-Fe}_2\text{O}_3$ 원료분말과 350°C, 400°C, 500°C 및 600°C에서 각각 2시간 동안 열처리한 분말에 대해 XRD분석을 행하였다. 이 때 사용한 기기는 Rigaku D/Max-III였으며 Cu 표적을 사용하였다. X선 회절결과는 ASTM카드로써 분석하였으며 積分迴折強度는 내장된 컴퓨터로 계산하여 그 값을 얻었다.

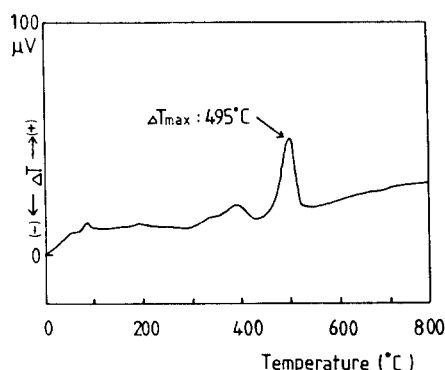


그림 4. $\gamma\text{-Fe}_2\text{O}_3$ 의 DTA곡선
Fig. 4. DTA curve of $\gamma\text{-Fe}_2\text{O}_3$.

그림 5는 $\gamma\text{-Fe}_2\text{O}_3$ 원료분말과 400°C 및 500°C에서 각각 2시간 동안 열처리한 분말에 대한 X선 회절 결과를 나타낸 것이다. 400°C에서 열처리한 경우 $\gamma\text{-Fe}_2\text{O}_3$ 가 일부 $\alpha\text{-Fe}_2\text{O}_3$ 로 결정전이 되었다. 600°C에서 열처리한 경우는 500°C에서 열처리한 분말과 같은 X선 회절피크를 나타내었으며 $\gamma\text{-Fe}_2\text{O}_3$ 가 $\alpha\text{-Fe}_2\text{O}_3$ 로 결정전이 되었다. 350°C에서 열처리한 경우는 $\gamma\text{-Fe}_2\text{O}_3$ 원료분말과 같은 X선 회절 피크를 나타내었다. 그림 5에서 $d=2.95\text{ \AA}$ 인 (220)면의 피크는 $\gamma\text{-Fe}_2\text{O}_3$ 내의 4면체 자리에 있는 철이온에 의한 피크이다. 또한 $d=1.48\text{ \AA}$ 인 (440)면의 피크는 4면체 자리의 철이온과 8면체 자리의 철이온 모두에

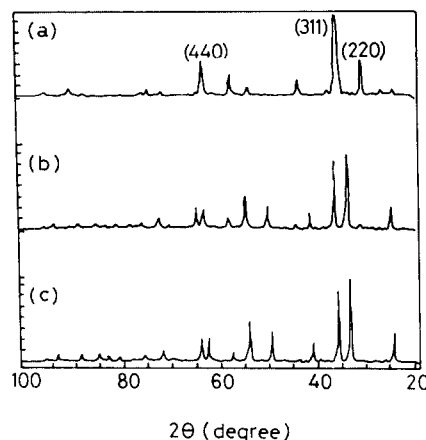


그림 5. 열처리 조건에 따른 $\gamma\text{-Fe}_2\text{O}_3$ 분말의 XRD 패턴

(a) 원료 분말 (b) 열처리: 400°C, 2시간
(c) 열처리: 500°C, 2시간
Fig. 5. XRD patterns of $\gamma\text{-Fe}_2\text{O}_3$ powder with various heat treatment conditions.
(a) Raw material,
(b) Heat treatment: 400°C, 2hrs,
(c) Heat treatment: 500°C, 2hrs.

의한 피크이다. 따라서 XRD 결과로 부터 스피넬형 결정구조를 갖는 $\gamma\text{-Fe}_2\text{O}_3$ 내부의 철이온 분포를 알 수 있다.^[8] 즉, $\gamma\text{-Fe}_2\text{O}_3$ 원료분말내의 전체 철이온 중 4면체 자리의 철이온의 比는 $I(220)/I(440)=0.664$ 이다. 그리고 400°C에서 열처리한 경우 그 比는 0.274로 되었다. 따라서 4면체 자리에 있던 철이온이 400°C의 열처리에 의해 8면체 자리로 이동하였음을 알 수 있다.

본 실험에서 被檢ガ스로 사용된 부탄과 메탄가스의 300°C에서의 열분해 상태를 알아보기 위해 IR 흡수특성을 조사해 보았다. 별도로 세작된 흡수셀내의 공기를 排氣하고 가스를 주입한 후 300°C에서의 IR 흡수특성을 조사하였다.

그림 6은 C_4H_{10} 과 CH_4 에 대한 IR 흡수특성을 나타낸 것이다. CH_4 가스인 경우 波數 $2400\sim3200\text{cm}^{-1}$ 사이의 吸收帶는 메탄의 結合帶를^[9] 나타낸다. 波數 $1300\sim1500\text{cm}^{-1}$ 사이의 吸收帶는 CH_3 에 의한 것으로 메탄이 일부 燃分解되어 CH_3 로 존재한다고 생각된다. C_4H_{10} 가스인 경우 CH_2 伸縮振動에 의한 吸收帶가 $2400\sim3200\text{cm}^{-1}$ 사이에 나타났으며 800cm^{-1} 부근에 CH_2 rock에 의한 흡수대가 나타났고 $1100\sim1500\text{cm}^{-1}$ 사이에 CH_2 wag와 CH_2 twist에 의한 흡수대가 나타나 부탄이 C_4H_8 으로 존재한다고 생각된다.

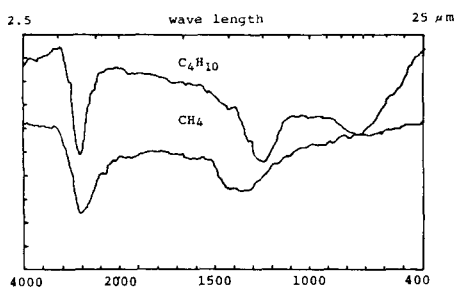
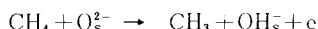


그림 6. 메탄과 부탄의 IR 흡수특성

Fig. 6. IR absorption bands of CH_4 and C_4H_{10} at 300°C .

메탄의 경우 γ -Fe₂O₃와接触시 γ -Fe₂O₃ 표면의 吸着 산소에 의한 酸化的 脱水素가 일어나고 이를 개시로 不可逆吸着 혹은 逐次酸化된다고 생각된다. 즉,



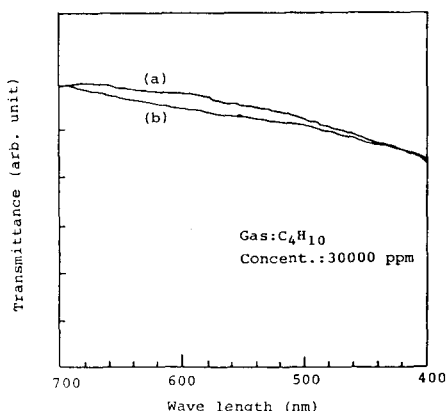
이다. 메탄은 메틸基로서 γ -Fe₂O₃에 吸着된다고 믿어진다. 메탄이 흡착하면 표면의 吸着 산소가 줄어들고 이때 생긴 Fe^{+2} 이온이 벌크로擴散하여還元된다. 환원이 일어나면 Fe_3O_4 로 변하게 되는데 이 두 물질사이에는 $\text{Fe}^{+3}[\square_{1-x/3}\text{Fe}^{+2}_{x/3}\text{Fe}^{+3}_{5-2x/3}]_{\text{O}_4}$ 형태의 이온분포를 갖는 固溶体를 형성한다. 여기서 []는 8면체 자리를, x는還元度를 각각 나타낸다. 그리고 \square 는 철이온 vacancy(空孔)를 나타낸다. 이와같이 8면체 자리에 Fe^{+3} 이온과 Fe^{+2} 이온이 공존하게 되면 이들 두 이온사이에 빠른 전자교환이 가능해지며 전기전도도가 증가하게 된다. 환원성 가스의 농도가 증가함에 따라 Fe^{+2} 이온의 양이 증가되고 그 정도에 의해 전기전도도가 결정된다.

γ -Fe₂O₃에 부탄가스가 吸着하였을 경우 Fe^{+2} 이온의 증가를 확인하기 위해 光透過 특성을 조사하였다. γ -Fe₂O₃ 분말을 400°C 에서 2시간 동안 열처리한 후 밀폐된 스텐레스 용기내에 넣고 300°C 로 유지하면서 부탄가스를 3만 ppm 주입하였다. 가스분위기에서 약 10분간 300°C 로 유지하여 가스를 吸着시킨 후 室溫으로 내리고 그 분말을 소량 취하여 80°C 의 HCl로 용해 시켰다. 이를 다시 탈이온수로 漢澈한 후 파장 $400\sim700\text{nm}$ 범위의 光透過度를 측정하였다. 이때 사용한 기기는 Pyeunicam Pu 8800이었다. 그림 7은 가스흡착전과 가스흡착후의 광투과도 변화를 나타낸 것이다. Fe^{+2} 이온의 吸收波長은 530nm 로^[10]그림에서 보는 바와 같이 가스가 흡착된 경우의 그 투과도가 그렇지 않은 경우보다 낮았다. 따라서 부탄가

스 흡착시 γ -Fe₂O₃ 내에 Fe^{+2} 이온이 증가했음을 알 수 있다.

γ -Fe₂O₃ 원료분말의 미시적 성질을 규명하기 위해 브스바우어 분광실 험을^[11-13] 수행하였다. 이때 사용된 기기는 ASA社 S-600이었다. γ -Fe₂O₃ 분말을 베리튬원도우 사이에 적정 두께로 고정시키고 상온과 350°C 에서의 브스바우어 흡수특성을 조사하였다. 그림 7은 상온과 350°C 에서의 γ -Fe₂O₃의 브스바우어 스펙트럼을 나타낸 것이다. 상온에서의 스펙트럼은 Bauminger 등의^[14] 결과와 일치함을 알 수 있었다. 즉 상온에서는 Fe^{+3} 이온만 있고 Fe^{+2} 이온은 없음을 알 수 있다. 350°C 에서의 흡수율은 상온에 비해 감소되었음을 알 수 있다. 이는 고온에서는 열에의한 격자 진동때문에 일어나는 현상으로 생각된다. 그러나 브스바우어 변수(quadrupole splitting 값등)로 볼 때 Fe^{+3} 이온만 존재하리라 생각된다. Fe^{+3} 이온은 4면체 자리와 8면체 자리에 분포하며 자기장의 값을 서로 같은 것으로 알려져 있다. 350°C 에서의 브스바우어 스펙트럼은 상온의 그것에 비해 상당히 흡수율이 저조하고 그 폭은 넓어졌다. 이는 격자의 열적 진동과 8면체 자리에서의 vacancy의 증가에 의한 것으로 추측된다. 8면체 자리의 magnetic hyperfine field가 4면체 자리의 그것보다 복잡하고 8면체 자리의 양이 vacancy에 의한 화학양론조성의 벗어남때문에 흡수선풍이 넓어졌다 고 생각되어진다.

필자들은 선행연구^[15]에서 γ -Fe₂O₃ 후막소자의 최적 열처리온도는 400°C 임을 밝힌 바 있다. 열처리온

그림 7. γ -Fe₂O₃의 광투과 특성

(a) 흡착전 (b) 흡착후

Fig. 7. Transmittance characteristics of γ -Fe₂O₃. (a) before adsorption, (b) after adsorption.

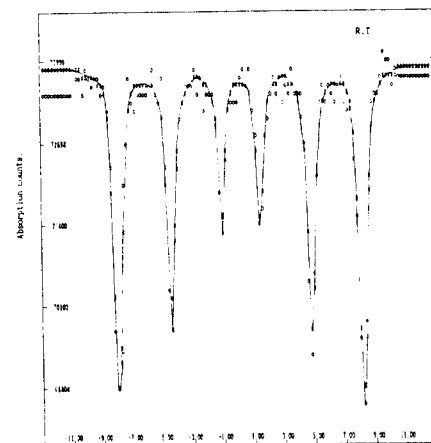
도가 증가함에 따라 부탄가스에 대한 감도는 점차 감소되었다. 여기서 가스에 대한 감도는 초기 저항 값에 대한 가스주입후의 저항변화를 백분율로 나타낸 것이다. 즉,

$$S = \frac{R_0 - R_g}{R_0} \times 100 (\%)$$

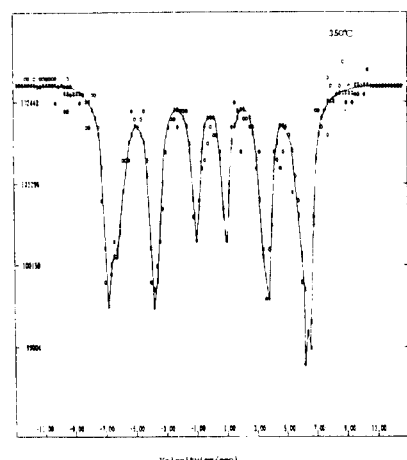
이다. 여기서 S 는 감도, R_0 는 초기저항값, 그리고 R_g 는 가스주입후의 저항값을 각각 나타낸다. 또한 γ - Fe_2O_3 후막소자의 최적 동작온도는 300~350°C 사이였으며 200°C 이하에서는 감도가 낮은데 이는 부탄가스의活性化온도보다 소자의 동작온도가 낮기 때문이라 생각된다. 350°C 이상에서는 감도가 떨어지는데 이는 厚膜내에 열적으로 起起된 電子의 수가 많아 가스의 吸着에 의한 電氣傳導度의 변화는 상대적으로 둔화되므로 감도가 떨어진다고 생각된다. 더욱 기 CO₂와 H₂O 등 감도를 갖지 않는 中間生成物의 양이 많아져^[16-17] 그 감도가 떨어진다고 생각된다. 동작온도가 300°C 일때 5000ppm의 농도에서 부탄가스에 대해 약 90%, 메탄에는 53%, 프로판에는 35% 정도의 감도를 나타내었고 수소와 일산화탄소에는 20% 미만의 감도를 보였다.

본 연구에서는 γ - Fe_2O_3 厚膜素子의 가스에 대한 감도를 증진시키고 동작온도를 낮추기 위해 Pd 분말(순도 99.99%, 美 Aldrich 社제)을 γ - Fe_2O_3 에 첨가하여 후막소자를 제조하였다. γ - Fe_2O_3 에 Pd를 첨가한 소자의 경우 소자온도 300°C에서 그 저항값이 약 10배 가량 커졌다. 그러나 Pd의 첨가량을 0.5~5%로 달리 했을 때 Pd의 첨가량이 많을수록 소자 저항은 낮아졌다. Pd첨가시 저항이 증가되는 것은 Pd가 공기중의 산소를 흡착함에^[18] 따라 입자간의 전위장벽이 높아지기 때문이다. Pd의 첨가량을 0.5~5w/o로 달리 했을 때 Pd를 1w/o 첨가한 소자의 감도가 가장 높았다.

그림9는 Pd를 1w/o 첨가한 γ - Fe_2O_3 /Pd 후막소자의 부탄가스에 대한 감도특성을 나타낸 것이다. 동작온도가 300°C 일 때 5000ppm의 부탄가스에 대해 97%의 감도를 나타내었다. Pd를 첨가하지 않은 γ - Fe_2O_3 의 감도가 동일한 조건에서 90%인데 비해 이처럼 Pd첨가에 의해 감도가 증진된 것은 Pd가 가스의解離吸着을 촉진시키 응답속도를 빠르게 하고 해리된 가스를 γ - Fe_2O_3 에 spill-over^[17] 해주어 감도향상에 기여했기 때문이라고 생각된다. Pd는 수소나 탄화수소계 가스의 흡착에 의해 일함수가 크게 변하여^[19-20] 입자간의 전위장벽을 낮추어 소자의 전기전도도를 증대시킨다. 또한 Pd의 첨가에 의해 150°C의



(a)



(b)

그림 8. (a) 상온

(b) 350°C에서의 뮌스바우어 스펙트럼

Fig. 8. Mössbauer spectrum at
(a) room temperature and (b) 350°C.

낮은 동작온도에서도 5000ppm의 부탄가스에 대한 감도가 55%나 되었다. 이는 Pd가 부탄가스의 활성화온도를 낮추어^[21-22] 150°C의 동작온도에서도 γ - Fe_2O_3 에 흡착 가능하도록 하기 때문이다.

그림10은 γ - Fe_2O_3 입자간의 전위장벽을 도시한 것이다. 300°C에서 γ - Fe_2O_3 입자표면에는 흡착산소가 존재하며 이러한 흡착산소와 부탄가스가 반응함에 따라 γ - Fe_2O_3 입자표면의 흡착산소량이 감소된다. 그 결과 그림10에 나타낸 바와 같이 입자간의 전위장벽이 낮아지게 되어^[20] 전기전도도가 커지게

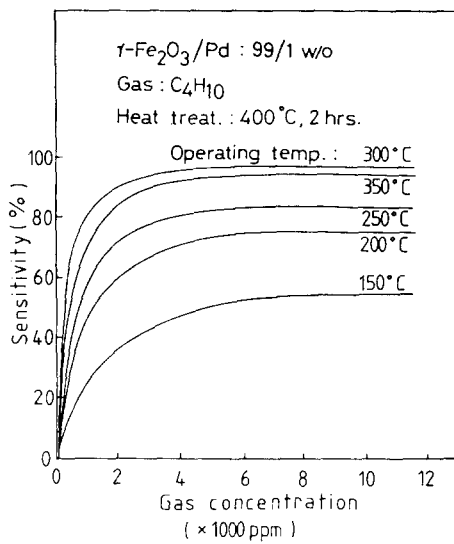


그림 9. $\gamma\text{-Fe}_2\text{O}_3/\text{Pd}$ 후막의 부탄가스에 대한 감도특성

Fig. 9. Sensitivity characteristics of $\gamma\text{-Fe}_2\text{O}_3/\text{Pd}$ thick film to C_4H_{10} .

$\gamma\text{-Fe}_2\text{O}_3$ 계면의 전위장벽은 낮아진다. 그결과 전기전도도가 증가하므로 가스에 대한 감도를 갖게 된다고 설명할 수 있다.

그림12는 Pd를 1w/o첨가한 $\gamma\text{-Fe}_2\text{O}_3$ 후막소자의 프로판가스에 대한 감도특성을 나타낸 것이다. 동작온도가 300°C 일 때 5000ppm의 프로판가스에 대해 70%정도의 감도를 나타내어 Pd가 프로판에 대한 감도도 보다 높여줄을 알 수 있다.

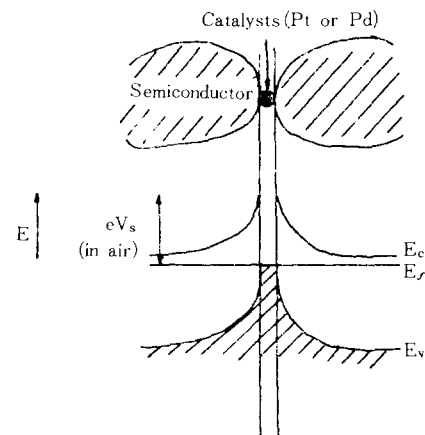


그림11. Pd와 $\gamma\text{-Fe}_2\text{O}_3$ 입자 계면에서의 에너지 밴드
Fig. 11. An energy band diagram at the interfaces between Pd and $\gamma\text{-Fe}_2\text{O}_3$ grains.

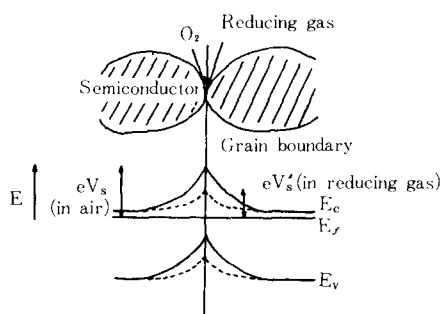


그림10. $\gamma\text{-Fe}_2\text{O}_3$ 입자간의 전위장벽

Fig. 10. The potential barrier at the grain boundary of $\gamma\text{-Fe}_2\text{O}_3$.

된다. 그러나 150°C의 동작온도에서는 이러한 반응이 일어나지 않는다.

그림11은 Pd와 $\gamma\text{-Fe}_2\text{O}_3$ 입자界面에서의 에너지 밴드를 도시한 것이다. Pd를 첨가할 경우에는 $\gamma\text{-Fe}_2\text{O}_3$ 입자사이에 그림11과 같은 새로운界面이 생기게 된다.^[20,23] Pd표면에서는 150°C의 동작온도에서도 흡착산소와 부탄가스와의 반응이 생기게 된다. 이때 귀금속 촉매(Pd)의 일함수가 감소하게 되고 촉매와

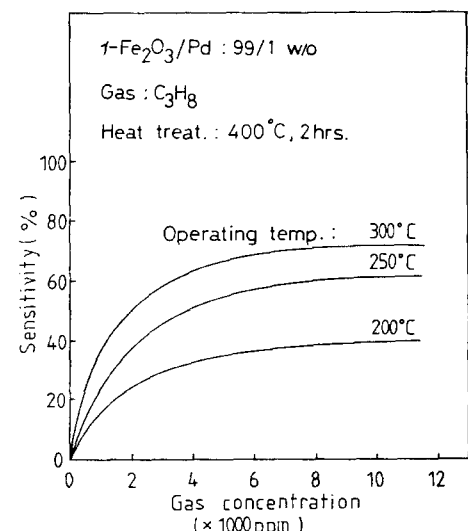


그림12. $\gamma\text{-Fe}_2\text{O}_3/\text{Pd}$ 후막의 프로판가스에 대한 감도특성

Fig. 12. Sensitivity characteristics of $\gamma\text{-Fe}_2\text{O}_3/\text{Pd}$ thick film to C_3H_8 .

그림13은 Pd를 1w/o첨가한 $\gamma\text{-Fe}_2\text{O}_3$ 후막소자의 CH_4 가스에 대한 감도특성을 나타낸 것이다. 동작온도 300°C에서 최대감도를 가지며 5000ppm의 CH_4 에 대해 75% 정도의 감도를 나타내었다. 동작온도 150°C에서도 5000ppm의 CH_4 에 대해 20% 정도의 감도를 나타내었다. Pd첨가로 메탄에 대한 감도도 증진됨을 알 수 있다.

그림14는 $\gamma\text{-Fe}_2\text{O}_3/\text{Pd}$ 후막소자의 알코올에 대한 감도특성을 나타낸 것이다. 동작온도가 250°C일 때 최대감도를 나타내었으며 5000ppm의 알코올에 대해 약 90%의 감도를 나타내었다.

그림15는 Pd를 1w/o첨가한 $\gamma\text{-Fe}_2\text{O}_3$ 후막소자의 CO가스에 대한 감도특성을 나타낸 것이다. 동작온도 300°C에서 최대감도를 나타내며 5000ppm의 CO에 대해 70%정도의 감도를 가져 Pd첨가가 CO에 대한 감도도 증진시킴을 알 수 있다.

$\gamma\text{-Fe}_2\text{O}_3$ 에 Pd를 첨가할 경우 부탄, 프로판, 메탄 및 CO가스에 대한 감도가 증진되어 이를 가스들에 대한 감도 증진에는 Pd가 좋은 첨가물임을 알 수 있었다. 또한 Pd를 첨가한 $\gamma\text{-Fe}_2\text{O}_3$ 는 알코올에도 높은 감도를 나타내어 알코올 감지소자로서도 적용 가능함을 알 수 있다.

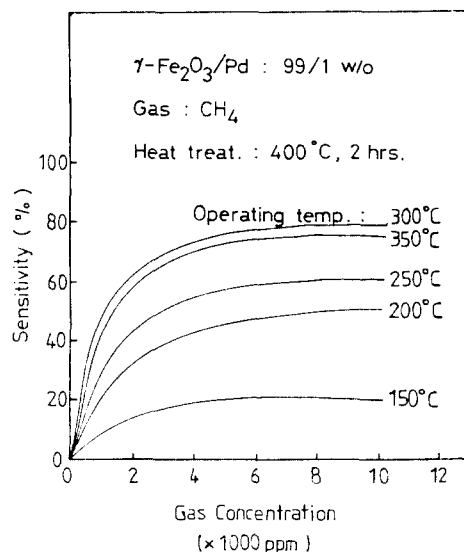


그림13. $\gamma\text{-Fe}_2\text{O}_3/\text{Pd}$ 후막의 메탄가스에 대한 감도특성

Fig. 13. Sensitivity characteristics of $\gamma\text{-Fe}_2\text{O}_3/\text{Pd}$ thick film to CH_4 .

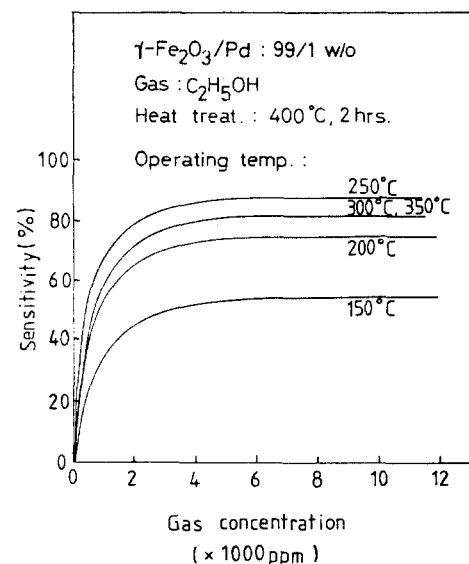


그림14. $\gamma\text{-Fe}_2\text{O}_3/\text{Pd}$ 후막의 알코올에 대한 감도특성
Fig. 14. Sensitivity characteristics of $\gamma\text{-Fe}_2\text{O}_3/\text{Pd}$ thick film to $\text{C}_2\text{H}_5\text{OH}$.

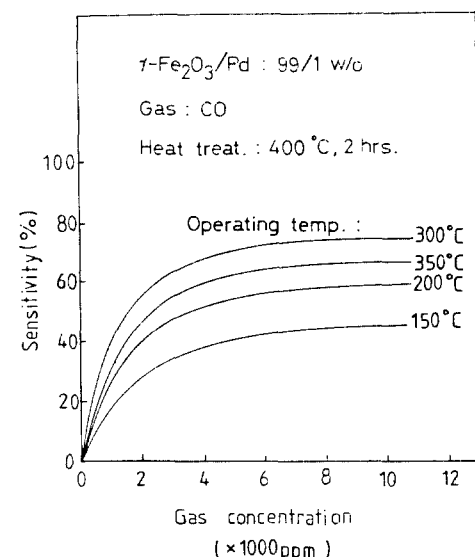


그림15. $\gamma\text{-Fe}_2\text{O}_3/\text{Pd}$ 후막의 CO가스에 대한 감도특성

Fig. 15. Sensitivity characteristics of $\gamma\text{-Fe}_2\text{O}_3/\text{Pd}$ thick film to CO.

IV. 結 論

$\gamma\text{-Fe}_2\text{O}_3/\text{Pd}$ 후막형 가스감지소자를 스크린 인쇄법으로 제조하였다. 본 실험에서 사용한 $\gamma\text{-Fe}_2\text{O}_3$ 분

말은 500°C에서 α -Fe₂O₃로 비가역 결정전이 되었다. 이때 4면체 자리의 철이온이 8면체 자리로 이동하였다. γ -Fe₂O₃ 분말내의 철이온은 상온과 350°C에서 Fe⁺³ 이온뿐이며 Fe⁺²이온은 존재하지 않았다. 고온에서는 격자의 열적진동으로 인하여 8면체 자리의 양이온 vacancy의 증가가 예측된다.

소자의 동작온도인 300°C에서 퍼검가스는 열분해 상태로 존재하며 이들이 γ -Fe₂O₃ 표면에 흡착될 때 Fe⁺²이온의 양이 증대되었다.

γ -Fe₂O₃에 Pd를 첨가함으로써 부탄, 프로판, 메탄 및 CO가스에 대한 감도가 증진되었다. γ -Fe₂O₃에 Pd를 1w/o 첨가한 경우 동작온도 300°C에서 5000ppm의 부탄가스에 대해 97%의 감도를 나타내었다.

参考文献

- [1] T. Seiyama, et al., *Anal. Chem.*, 34, 1502, 1962.
- [2] P.J. Shaver, *Apl. Phys. Letts.*, 11, 255, 1967.
- [3] J.R. Machintyre, et al., *Inst. Tech.*, 19, 29, 1972.
- [4] M. Nitta, et al., "Thick film CO gas sensor," *IEEE Trans., ED-26* (3), pp. 247-249, 1979.
- [5] B. Morten, et al., "Thick film technology and sensor," *Sensors and Actuators*, 4, pp. 237-245, 1983.
- [6] K. Dobos, et al., "Performance of carbon monoxide sensitive MOSFET'S with metal oxide semiconductor gates," *IEEE , ED-32*, 7, 1985.
- [7] 최동한 외 3인, " γ -Fe₂O₃ 후막형 도시가스 감지소자," 1987년도 전기·전자공학 학술대회 논문집, pp. 477 - 480, 1987. 7.
- [8] 이정식 등, *New physics*, 25, pp. 456 - 459, 1985.
- [9] K. Nakamoto, *Infra-red and Raman Spectra of Inorganic and Coordination Compounds*, Wiley-Interscience, 3rd Ed., 1977.
- [10] 中谷吉彦, 酸化第二鉄 烧結体のがス感応特性 たらびにその応用に関する研究, 1985.
- [11] N.N. Greenwood, T.C. Gibb, *Mössbauer Spectroscopy*, Chapman and Hall Ltd. London, pp. 246-248, 1971.
- [12] T.C. Gibb, *Principles of Mössbauer Spectroscopy*, Chapman and Hall Ltd., London, 160, 1976.
- [13] G.M. Bancroft, *Mössbauer spectroscopy (An Introduction for Inorganic Chemists and Geochemists)*, A Hallsted Press Book, John Wiley and Sons, 1973.
- [14] R. Bauminger, "Study of the Low-Temperature Transition in Magnetite and the Internal Fields Acting on Iron Nuclei in Some Spinel Ferrites, Using Mössbauer Absorption," *Physical Review*, 122, pp. 1447-1450, 1961.
- [15] 이덕동 외 2인, "도시가스센서의 개발," 전자공학회 논문지, 25, pp. 52 - 61, 1988.
- [16] 清山哲郎, 化学センサ, 講談社, 東京, pp. 13-70, 1982.
- [17] H. Yanagida, et al., "Gas sensing characteristics of porous zinc oxide ceramics with and without platinum catalyst," *Proc. of Int. Meeting on Chemical Sensors*, pp. 95-100, 1983.
- [18] N . Yamamoto, et al., "The effect of reducing gases on the conductivities of metal oxide semiconductors," *J.J. Appl. Phys.*, 20, 4, pp. 721-726, 1981.
- [19] T.L. Poteat, et al., "Transition metal gate MOS gaseous detectors," *IEEE Trans., ED-29*, 1, 124, 1982.
- [20] 外村正一郎, "金属 半導体 接合型がスセンサーとその作動機構" 日化, 10, pp. 1585 - 1590, 1980.
- [21] R.C. Baetzold, "Interaction of saturated hydrocarbons with transition-metal films," *J. Am. Chem. Soc.*, 1983.
- [22] 砂原將三郎, 電子科學, 11, 33, 1980.
- [23] 清山哲郎, et al., 電化, 40, 244, 1972.

著者紹介



崔 東 漢(正會員)

1960年 1月 10日生. 1982年 경
북대학교 전자공학과(공학사).
1984年 경북대학교 대학원 전자
공학과(공학석사). 1988年 경북대
학교 대학원 전자공학과 (공학박
사). 1986年 9月~1988年 8月 경
북대학교 전자공학과 조교. 1988年 9月~현재 청주
대학교 반도체공학과 전임강사. 주관심분야는 가스
센서 및 습도센서의 제조 및 신호처리 등임.

李 德 東 (正會員) 第26卷 第11號 參照

현재 경북대학교 공과대학
전자공학과 교수